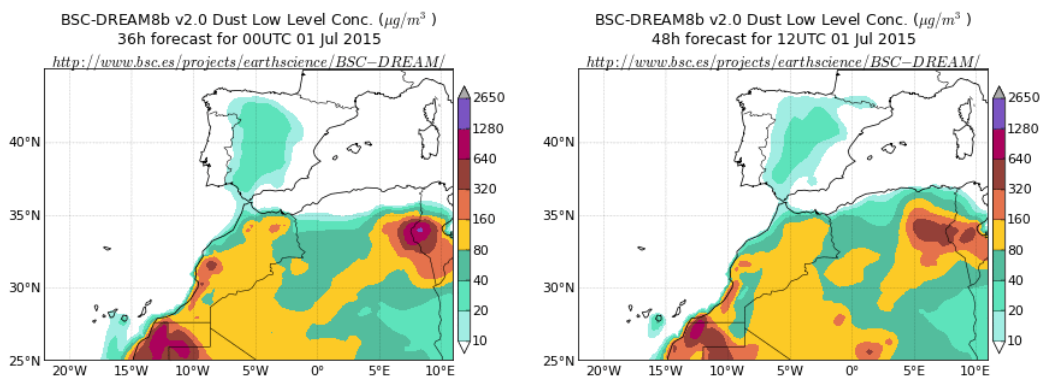


## Predicción de intrusión de masas de aire africano sobre España para el día 1 de julio de 2015

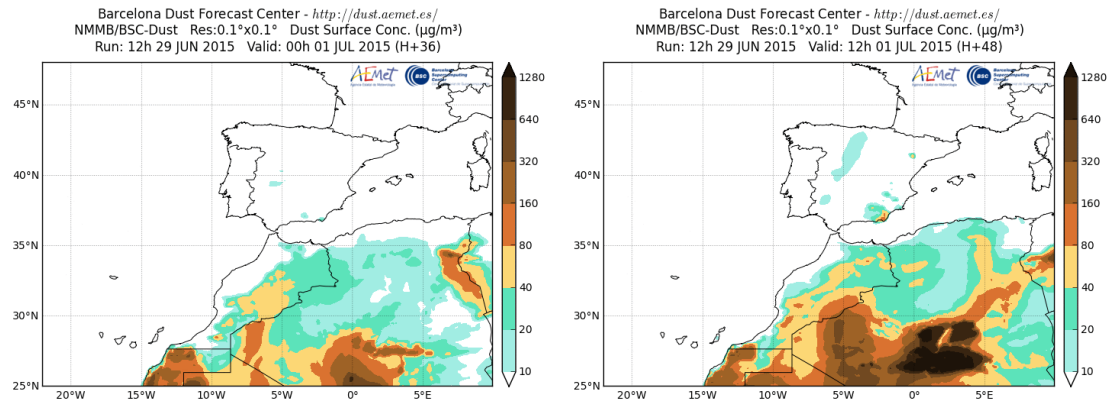
Los modelos prevén la continuación del episodio de intrusión de masas de aire africano que está afectando al sur, centro y norte de la Península y las islas Canarias. Estiman concentraciones de polvo en el rango  $10\text{-}40\ \mu\text{g}/\text{m}^3$  para el suroeste, centro y norte peninsular, y algo más bajas para el sureste peninsular y las islas Canarias. Adicionalmente podría producirse depósito seco de polvo sobre el sur, centro y norte peninsular, y sobre las islas Canarias.

El modelo BSC-DREAM8b v2.0 prevé la presencia de masas de aire africano a nivel de superficie sobre la Península y las islas Canarias para el día 1 de julio. Estima concentraciones de polvo en los rangos  $10\text{-}20\ \mu\text{g}/\text{m}^3$  para el sureste, y  $10\text{-}40\ \mu\text{g}/\text{m}^3$  para el suroeste, centro y norte peninsular y las islas Canarias.



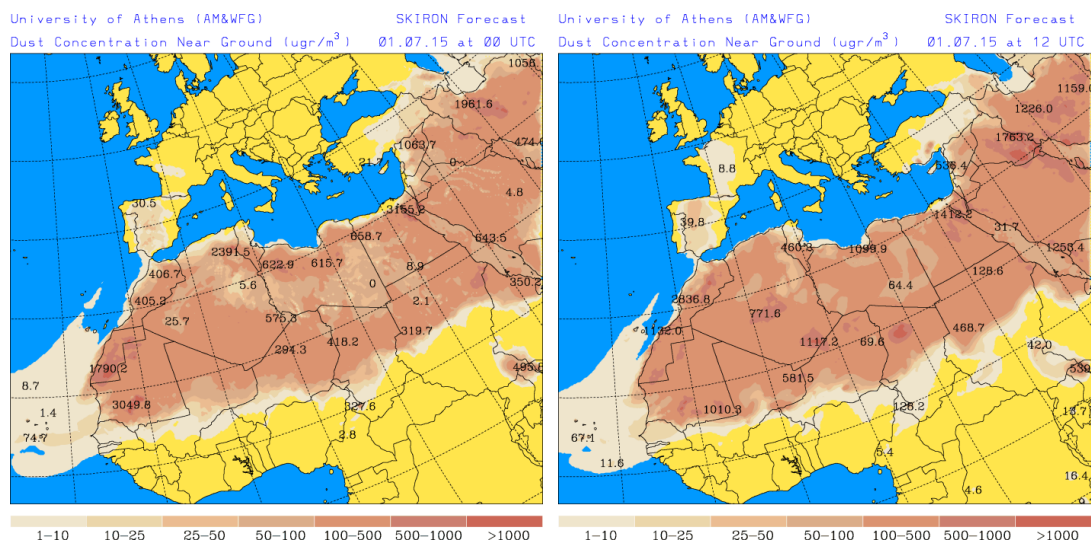
Concentración de polvo ( $\mu\text{g}/\text{m}^3$ ) predicha por el modelo BSC-DREAM8b v2.0 para el día 1 de julio de 2015 a las 00 UTC (izquierda) y a las 12 UTC (derecha). © Barcelona Supercomputing Center.

El modelo NMMB/BSC-Dust prevé también la presencia de las masas de aire africano sobre la Península y las islas Canarias. Estima concentraciones de polvo en el rango  $10\text{-}20\ \mu\text{g}/\text{m}^3$  para el suroeste, centro y norte peninsular y la isla de Fuerteventura. Para el sureste peninsular estima concentraciones de polvo que superarían este rango, aunque estarían relacionadas con procesos de resuspensión local.



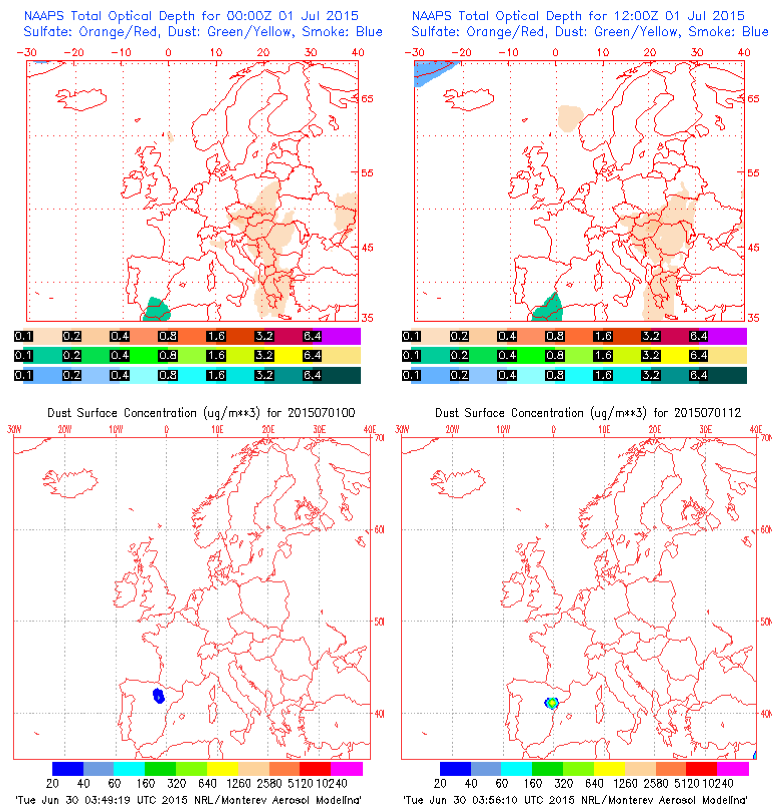
Concentración de polvo ( $\mu\text{g}/\text{m}^3$ ) predicha por el modelo NMMB/BSC-Dust para el día 1 de julio de 2015 a las 00 UTC (izquierda) y a las 12 UTC (derecha). © Barcelona Dust Forecast Center.

El modelo SKIRON prevé también la presencia de masas de aire africano sobre la Península y las islas Canarias a lo largo del día 1 de julio. Estima concentraciones de polvo en el rango  $1\text{-}50 \mu\text{g}/\text{m}^3$  para el sureste, suroeste, centro y norte peninsular. Para las islas Canarias estima concentraciones de polvo en el rango  $1\text{-}25 \mu\text{g}/\text{m}^3$  para las islas más occidentales.



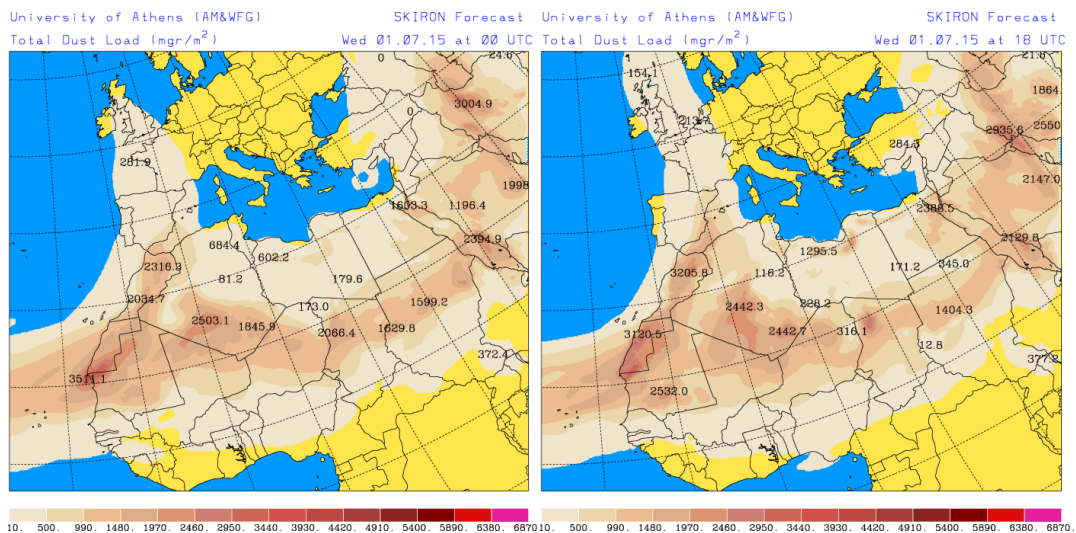
Concentración de polvo ( $\mu\text{g}/\text{m}^3$ ) predicha por el modelo SKIRON para el día 1 de julio a las 00 UTC (izquierda) y a las 12 UTC (derecha). © Universidad de Atenas.

El modelo NAAPS no coincide con los demás modelos y no prevé la presencia de masas de aire africano sobre la Península ni sobre las islas Canarias para el día 1 de julio. Estima concentraciones de polvo altas para la cuenca del Ebro, aunque en este caso estarían debidas a procesos de resuspensión local.

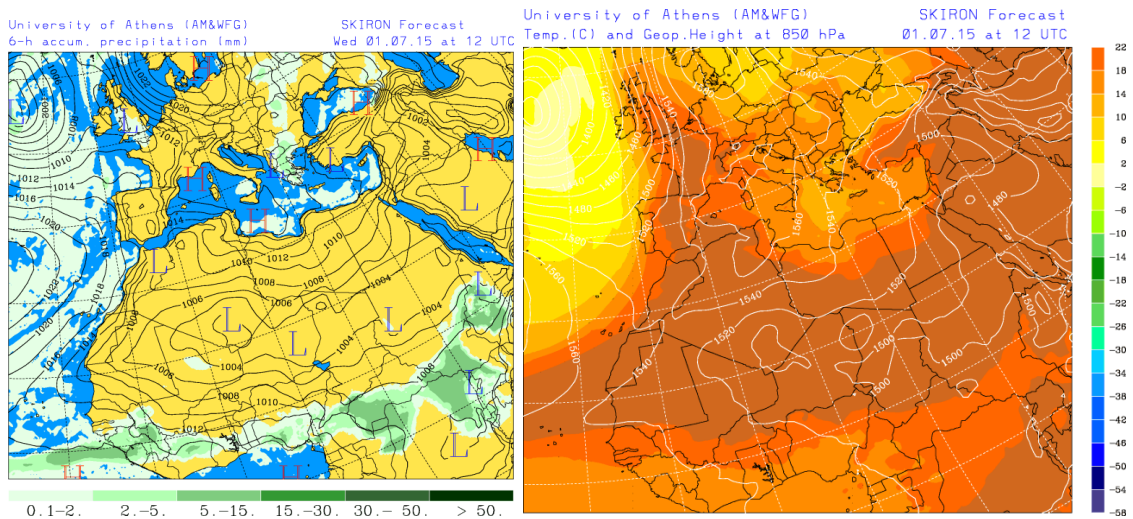


Espesor óptico de aerosoles a 550 nm (arriba) y concentración de polvo a nivel de superficie (abajo) previstos por el modelo NAAPS para el día 1 de julio de 2015 a las 00:00 UTC. ©Naval Research Laboratory (NRL), Monterey, CA.

Los mapas de carga total de polvo, así como los de presión a nivel  $\mu\text{g}/\text{m}^3$  del mar y de altura geopotencial a nivel de 850 hPa proporcionados por el modelo SKIRON muestran la presencia de las masas de aire africano en altura sobre la Península, las islas Baleares y las islas Canarias a lo largo del día 1 de julio.

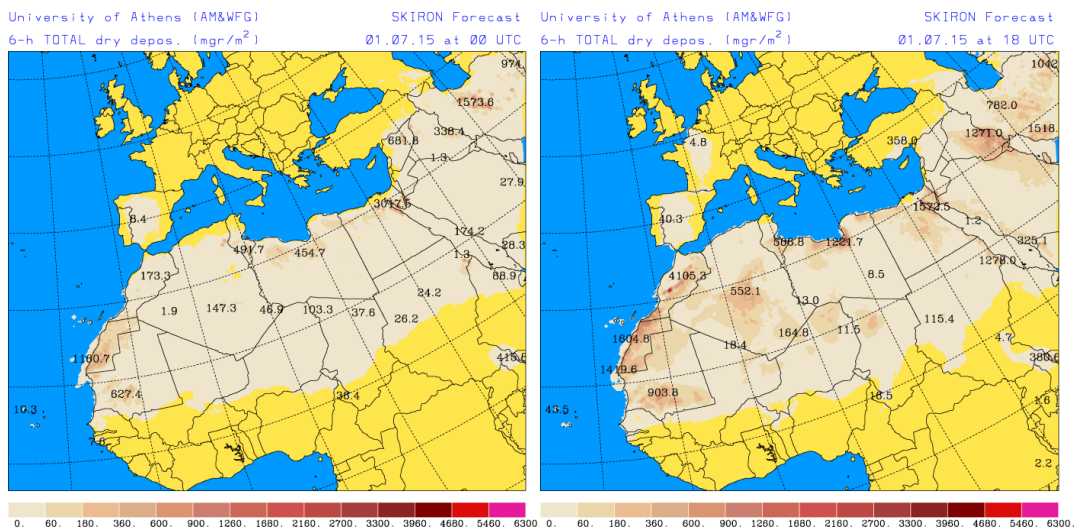


Carga total de polvo ( $\text{mg}/\text{m}^2$ ) predicha por el modelo SKIRON para el día 1 de julio de 2015 a las 00 UTC (izquierda) y a las 18 UTC (derecha). © Universidad de Atenas.



Precipitación acumulada (mm) y presión a nivel del mar (hPa) (izquierda) y campo de temperaturas (°C) y de altura de geopotencial a 850 hPa (derecha) previsto por el modelo SKIRON para el día 1 de julio de 2015 a las 12 UTC. © Universidad de Atenas.

Según el modelo SKIRON, también podría producirse depósito seco de polvo sobre el sur, centro y norte peninsular y las islas Canarias.



Depósito seco de polvo ( $\text{mg}/\text{m}^2$ ) predicho por el modelo SKIRON para el día 1 de julio de 2015 a las 00 UTC (izquierda) y a las 18 UTC (derecha). © Universidad de Atenas.

Fecha de elaboración de la predicción: 30 de junio de 2015.

Predicción elaborada por Noemí Pérez (IDAEA-CSIC).

Los datos son propiedad de la Dirección General de Calidad y Evaluación Ambiental, del Ministerio de Agricultura, Alimentación y Medio Ambiente, y han sido obtenidos y se suministran en el marco del “Acuerdo de Encomienda de Gestión entre el Ministerio de Agricultura, Alimentación y Medio Ambiente y la Agencia Estatal Consejo Superior de Investigaciones Científicas para la realización de trabajos relacionados con el estudio y evaluación de la contaminación atmosférica por material particulado y metales en España”.